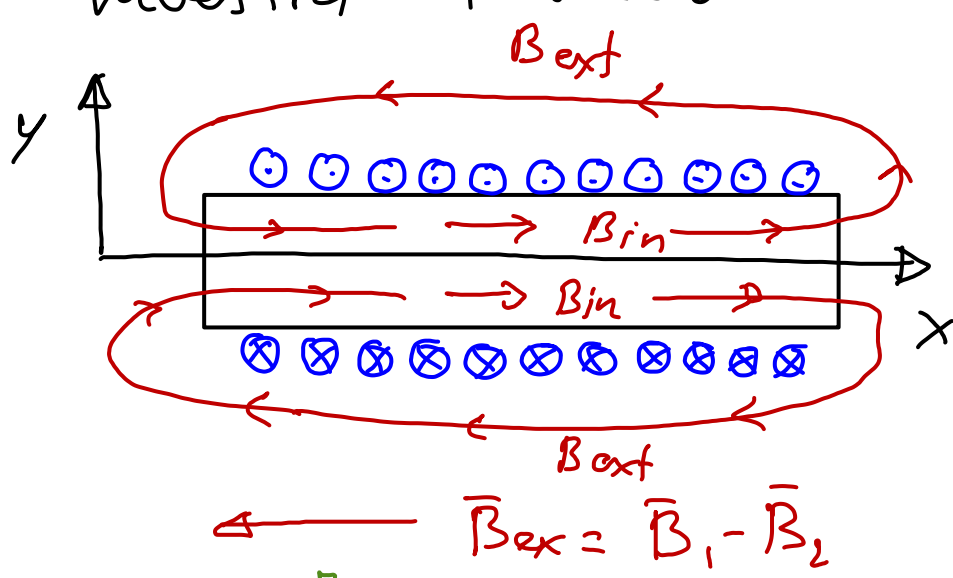


El campo \vec{B} en el interior de un solenoide puede calcularse empleando la ley de Ampère.

Prob. 7.7b

La configuración es equivalente a la que crea la superposición de N espiras de radio R paralelas que circula una corriente I_c idéntica. El esquema muestra la sección transversal del solenoide, donde las líneas del campo \vec{B} son curvas.

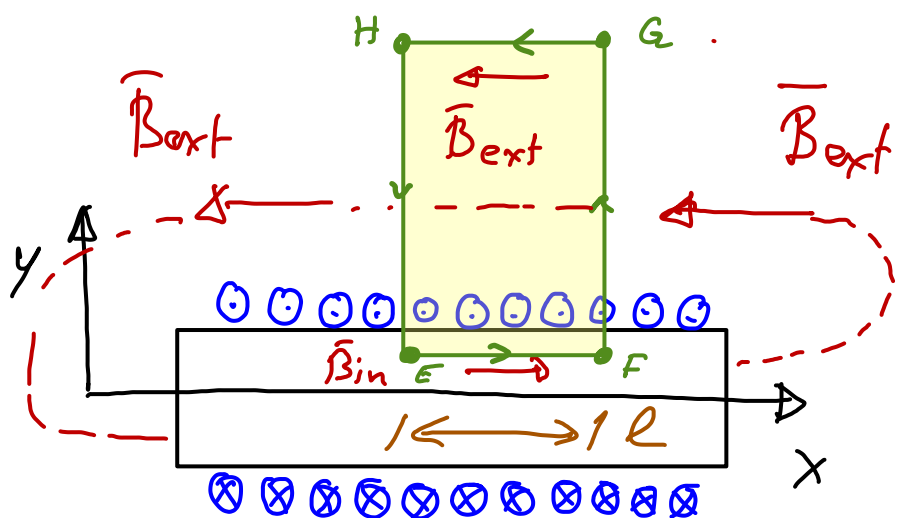


$$\vec{B}_{in} = \vec{B}_1 + \vec{B}_2$$

\vec{B}_1 and \vec{B}_2 are shown as vectors pointing outwards from the center. \vec{B}_{in} is the resultant vector pointing to the right. $\vec{B}_{ext} = \vec{B}_2 - \vec{B}_1$

Los campos \vec{B}_1 e \vec{B}_2 se suman en el centro y fuera tienen signos opuestos.

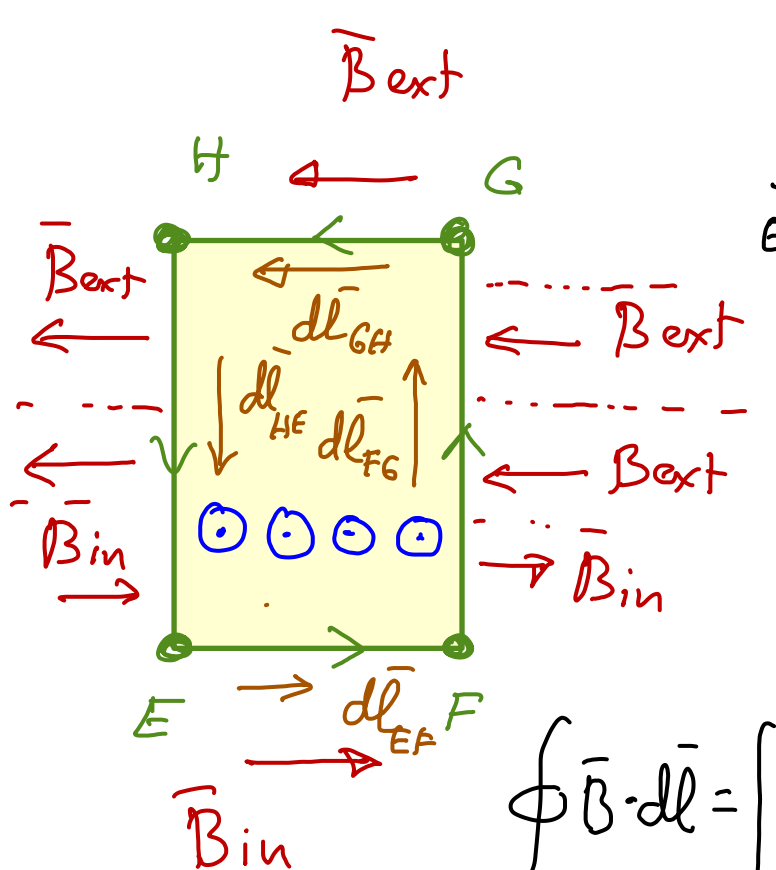
Fuera del solenoide el campo es mucho menor y con sentido contrario ya que los campos \vec{B}_1 y \vec{B}_2 tienen sentidos opuestos.



El solenoide tiene N espiras y longitud L de modo que $n = N/L$ es el número de vueltas

d kilos por unidad de longitud.

Aplicamos la ecuación de Ampère al circuito EF6H (relleno en amarillo) dando la distancia $|EH| = |GH| = l$ es mucho más pequeña que $(HE| = |FG| \gg l)$. Se tiene



$$\oint \vec{B} \cdot d\vec{l} = \mu_0 (n I_c) \times l = \mu_0 \frac{N}{2} l I_c$$

ver nota al final.

$$\oint \vec{B} \cdot d\vec{l} = \mu_0 \frac{Nl}{L} I_c$$

y ahora desarrollamos la integral

$$\oint \vec{B} \cdot d\vec{l} = \int_{EF}^F \vec{B}_{in} \cdot d\vec{l}_{EF} + \int_E^C \vec{B} \cdot d\vec{l}_{FC} + \int_G^H \vec{B}_{ex} \cdot d\vec{l}_{GH} + \int_H^E \vec{B} \cdot d\vec{l}_{HE}$$

$\vec{B} \perp d\vec{l}_{FC}$
 tanto dentro como
 fuera del solenoide

$\vec{B}_{ex} \parallel d\vec{l}_{GH}$
 $d\vec{l}_{HE} \perp \vec{B}$
 tanto
 dentro
 como
 dentro del solenoide

En los tramos HE y FG los campos \vec{B}_{ex} y \vec{B}_{in} son perpendiculares respectivamente a $d\vec{l}_{HE}$ y $d\vec{l}_{FG}$ (verdadero) ya que las líneas de campo son siempre normales a dichos segmentos.

En EF el campo \vec{B}_{in} es paralelo a $d\vec{l}_{EF}$ y en GH también \vec{B}_{ext} lo es a $d\vec{l}_{GH}$ y queda entonces.

$$\oint_{EF6H} \vec{B} \cdot d\vec{l} = B_{in} \left(\int_E^F dl_{EF} \right) + B_{ext} \left(\int_Q^H dl_{EH} \right) = \mu_0 \frac{Nl}{L} I_c$$

$$B_{in} \cancel{l} + B_{ext} \cancel{l} = \mu_0 \frac{N}{L} \cancel{l} I_c$$

Como $|F6| = |HE| \gg l$ y el campo B_{ext} decrece con la distancia al solenoide, podemos considerar

$$B_{in} \gg B_{ext} \quad \text{y entonces} \quad B_{in} \approx \mu_0 \frac{N}{L} I_c$$

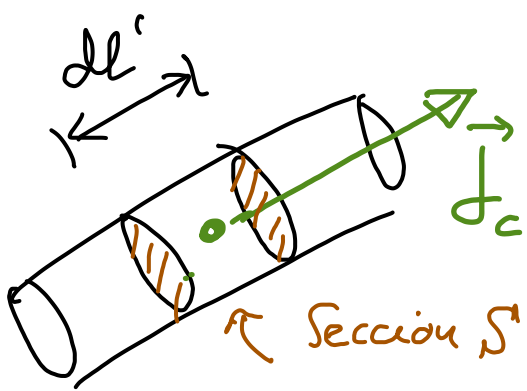
$$B_{in} = \mu_0 \frac{N}{L} I_c = \mu_0 N I_c$$

NOTA: El signo de las corrientes se obtiene de la definición

$$\frac{d\Phi}{dt} : I_c = \int_S \vec{J} \cdot d\vec{S} \quad \text{En el caso de un hilo conductor con una sección } S \text{ constante podemos hacer}$$

$|J| = \frac{I_c}{S}$ y su dirección y sentido son los de el elemento del circuito $d\vec{l}'$, como muestra el dibujo. El

vector \vec{J}_c está definido como



$$\vec{J}_c = \begin{cases} \frac{|I_c|}{S} \vec{l} & \text{dentro de la sección } S \\ 0 & \text{fuera de la sección} \end{cases}$$

de modo que la integral del teorema de Ampère es

$$I = \int_S \vec{J}_c \cdot d\vec{s} = \int_S \left[\frac{|I_c|}{S} \vec{t} \right] \cdot [d\vec{s}] = \frac{I_c}{S} \int_S (\vec{t} \cdot \vec{n}) d\vec{s}$$

Solo esta definida en la sección de conductor. En los recintos ABCD y EF6H anteriores $d\vec{s} = ds \hat{\vec{n}}$ y el vector tangente \vec{t} que los atraviesa es paralelo a $\hat{\vec{n}}$

$$\begin{cases} \text{En } \odot \quad \vec{t} = \hat{\vec{n}} \rightarrow d\vec{s} \cdot \hat{\vec{n}} = ds > 0 \\ \text{En } \otimes \quad \vec{t} = -\hat{\vec{n}} \rightarrow d\vec{s} \cdot (-\hat{\vec{n}}) = -ds < 0 \end{cases}$$

Para cada \odot tendremos una corriente positiva I_c y por cada \otimes otra negativa de modo que para el recinto EF6H anterior $I_{TOT} = n_f I_c$

